

ЛИТЕРАТУРА

1. Бетчов Р., Криминалле В. Вопросы гидродинамической устойчивости. М.: Мир, 1971.
2. Benney D. J., Bergeron B. F. A new class of nonlinear waves in parallel flows.— Stud. Appl. Math., 1969, vol. 48, N 3.
3. Huberman R. Critical layers in parallel flows.— Stud. Appl. Math., 1972, vol. 51, N 2.
4. Bobinson J. L. The inviscid nonlinear instability of parallel shear flows.— J. Fluid Mech., 1974, vol. 63, N 4.
5. Жигулов В. Н. Нелинейная теория развития возмущения.— В сб.: Аэрогазодинамика и физическая кинетика. Новосибирск: изд. ИТПМ СО АН СССР, 1977.
6. Реутов В. П. Плазменно-гидродинамическая аналогия и нелинейная стадия неустойчивости ветровых волн.— Изв. АН СССР. Физ. атмос. и океана, 1980, т. 16, № 12.
7. Тимофеев А. В. Колебания неоднородных течений плазмы и жидкости.— УФН, 1970, т. 102, № 2.
8. Miura A., Sato T. Theory of vortex nutation and amplitude oscillation in an inviscid shear instability.— J. Fluid Mech., 1978, vol. 86, N 1.
9. Андronov A. A., Фабрикан А. Л. Затухание Ландау, ветровые волны и свисток.— В сб.: Нелинейные волны. М.: Наука, 1979.
10. Шлихтинг Г. Теория пограничного слоя. М.: Наука, 1974.
11. Линь Цзя-Цзяо. Теория гидродинамической неустойчивости. М.: ИЛ, 1958.
12. O'Neil T. Collisionless damping of nonlinear plasma oscillation.— Phys. Fluids, 1965, vol. 8, N 12.
13. Галеев А. А., Сагдеев Р. З. Нелинейная теория плазмы.— В сб.: Вопросы теории плазмы. Вып. 7. М.: Атомиздат, 1973.
14. Шаниро В. Д., Шевченко В. И. Взаимодействие волн конечной амплитуды с плазмой. Препринт ФТИ 72—24, Харьков, 1972.
15. Шаниро В. Д., Шевченко В. И. Взаимодействие волна — частица в неравновесных средах.— Изв. высш. учеб. заведений. Радиофизика, 1976, т. 19, № 5—6.
16. Михайловский А. Б. Теория плазменных неустойчивостей. Т. 1. М.: Атомиздат, 1975.
17. Ландау Л. Д., Лифшиц Е. М. Механика сплошных сред. М.: ГИТТЛ, 1954.
18. Езерский А. Б., Рабинович М. И. Резонансное взаимодействие акустических и гидродинамических волн в течении Пуазеля.— В кн.: Труды II Всесоюз. симп. по физ. акуст.-гидродинам. явл. и оптоакустике. М.: Наука, 1981.
19. Рабинович М. И., Реутов В. П. Взаимодействие параметрически связанных волн в неравновесных средах.— Изв. высш. учеб. заведений. Радиофизика, 1973, т. 16, № 6.
20. Benjamin T. B. The threefold classification of unstable disturbances in flexible surfaces bounding inviscid flows.— J. Fluid Mech., 1963, vol. 16, N 3.

УДК 532.516 : 536.25

УСТОЙЧИВОСТЬ СТАЦИОНАРНЫХ ПРОСТРАНСТВЕННО- ПЕРИОДИЧЕСКИХ КОНВЕКТИВНЫХ ДВИЖЕНИЙ В ПЛОСКОМ ВЕРТИКАЛЬНОМ СЛОЕ

Л. П. Возовой, А. А. Непомнящий

(Пермь)

Анализу устойчивости плоскопараллельных конвективных движений в слоях вязкой жидкости посвящена обширная литература (см. [1, 2]). Известно, что в тех случаях, когда неустойчивость носит монотонный характер, она приводит к развитию стационарных пространственно-периодических движений. Работы [3, 4] посвящены исследованию устойчивости конечно-амплитудных вторичных движений. В [5—8] изучалась устойчивость конвективных валов, в [9] — гексагональных ячеек, возникающих в горизонтальных слоях в результате кризиса равновесия. В этих работах вывод об устойчивости делался на основе решения спектральной задачи, получаемой посредством применения метода Галеркина к линеаризованной задаче для возмущений.

В данной работе исследуется устойчивость стационарных пространственно-периодических движений в плоском вертикальном слое при наличии бокового подогрева. Инкременты наиболее опасного возмущения определяются из временной асимптотики решения линеаризованной задачи для возмущений, которое строится, как и основное решение, методом сеток [10, 11]. Расчеты проведены для числа Прандтля $Pr = 1$ в интервале чисел Грасгофа $500 < Gr < 2000$. Получены характерные зависимости

инкремента от квазиволнового числа, определены границы области устойчивости пространственно-периодических вторичных движений и основные типы возмущений, вызывающие неустойчивость.

1. Рассмотрим бесконечный вертикальный слой, заполненный вязкой несжимаемой жидкостью. На твердых границах слоя ($y = \pm d$) поддерживаются постоянные разные температуры $T = \pm \Theta$ (ось x направлена вертикально вверх, ось y — горизонтально). Запишем в безразмерном виде систему уравнений двумерной конвекции:

$$(1.1) \quad \partial\Phi/\partial t = \Delta\Phi + \text{Gr}\partial T/\partial y + D(\Phi, \Psi)/D(x, y);$$

$$(1.2) \quad \Delta\Psi = -\Phi;$$

$$(1.3) \quad \partial T/\partial t = (1/\text{Pr})\Delta T + D(T, \Psi)/D(x, y),$$

где $D(f, g)/D(x, y) = (\partial f/\partial x)\partial g/\partial y - (\partial f/\partial y)\partial g/\partial x$; Ψ — функция тока; Φ — вихрь скорости. Параметрами подобия являются числа Грасгофа Gr и Прандтля Pr . В предположении замкнутости потока (отсутствия прокачивания жидкости вдоль слоя) граничные условия имеют вид

$$(1.4) \quad \Psi = \partial\Psi/\partial y = 0, \quad T = \pm 1 \text{ при } y = \pm 1.$$

Потребуем также ограниченности всех функций на бесконечности

$$(1.5) \quad |\Phi|, |\Psi|, |T| < \infty \text{ при } x \rightarrow \pm \infty.$$

Краевая задача (1.1)–(1.5) всегда имеет решение

$$(1.6) \quad \Psi_0 = (\text{Gr}/24)(1 - y^2)^2, \quad T_0 = y, \quad \Phi_0 = (\text{Gr}/6)y(1 - y^2),$$

описывающее плоскопараллельное течение. Если число Прандтля $\text{Pr} < 12$, это течение теряет устойчивость по отношению к монотонно нарастающим возмущениям при $\text{Gr} > \text{Gr}_c \approx 500$ [1]. Нелинейное развитие возмущений в надкритической области приводит к установлению стационарных пространственно-периодических движений [12, 13]. В работе [14] изучалась устойчивость вторичных движений в припороговой области $\text{Gr} \approx \text{Gr}_c$; установлено, что наиболее опасными являются возмущения, содержащие фурье-компоненты с волновыми числами, близкими к волновому числу основного движения (неустойчивость Экхайза). В [15, 16] исследовалась устойчивость вторичных движений при конечной надкритичности $\text{Gr} - \text{Gr}_c$, но только по отношению к возмущениям с кратными волновыми числами. Было показано, что при увеличении периода развиваются нестационарные движения типа бегущих волн.

В данной работе изучается устойчивость пространственно-периодических стационарных движений при конечном превышении порогового числа Грасгофа и по отношению к плоским возмущениям общего вида, неизбежно являющимся периодическими.

2. Пусть $F_1 = (\Psi_1, \Phi_1, T_1)$ — стационарное решение задачи (1.1)–(1.5) с периодом $2\pi/k$. Для малого нормального возмущения $F_0 e^{\lambda t} = (\Psi, \Phi, T) e^{\lambda t}$, наложенного на это решение, получаем линейную краевую задачу

$$(2.1) \quad \lambda\Phi = \Delta\Phi + \text{Gr} \frac{\partial T}{\partial y} + \frac{D(\Phi, \Psi_1)}{D(x, y)} + \frac{D(\Phi_1, \Psi)}{D(x, y)},$$

$$\Delta\Psi = -\Phi, \quad \lambda T = \text{Pr}^{-1}\Delta T + \frac{D(T, \Psi_1)}{D(x, y)} + \frac{D(T_1, \Psi)}{D(x, y)};$$

$$(2.2) \quad \Psi = \partial\Psi/\partial y = T = 0 \text{ при } y = \pm 1, \quad |\Phi|, |\Psi|, |T| < \infty \\ \text{при } x = \pm\infty.$$

В случае плоскопараллельного основного движения $F_0(y)$, не зависящего от продольной координаты x , малые возмущения представимы в виде $F(x, y) = f(y)e^{ikx}$ и описываются обыкновенными дифференциальными уравнениями типа Орра — Зоммерфельда. Для возмущений пространственно-периодического движения такого разделения переменных не происходит, поскольку в уравнения (2.1) в качестве коэффициентов входят

функции, периодические по x с периодом $2\pi/k$. Тем не менее вид решения остается весьма специфичным и вытекает из групповых свойств краевой задачи (2.1), (2.2) [17]:

$$(2.3) \quad F(x, y) = f(x, y)e^{iqx}, \quad f = (\psi, \varphi, \theta), \quad f(x + 2\pi/k, y) = f(x, y)$$

(функции Флоке — Блоха). Вещественный параметр q (назовем его квазиволновым числом возмущений) определен с точностью до целого кратного k и может быть выбран в интервале $|q| \leq k/2$.

Подставляя (2.3) в (2.1), (2.2), получаем краевую задачу на собственные значения, содержащую q как свободный параметр:

$$(2.4) \quad \lambda\varphi = \Delta\varphi + 2iq\frac{\partial\varphi}{\partial x} - q^2\varphi + \text{Gr}\frac{\partial\theta}{\partial y} + \frac{D(\varphi, \Psi_1)}{D(x, y)} + \frac{D(\Phi_1, \psi)}{D(x, y)} + iq\frac{\partial\Psi_1}{\partial y}\varphi - iq\frac{\partial\Phi_1}{\partial y}\psi;$$

$$(2.5) \quad \Delta\psi + 2iq\frac{\partial\psi}{\partial x} - q^2\psi + \varphi = 0;$$

$$(2.6) \quad \lambda\theta = \text{Pr}^{-1} \left(\Delta\theta + 2iq\frac{\partial\theta}{\partial x} - q^2\theta \right) + \frac{D(\theta, \Psi_1)}{D(x, y)} + \frac{D(T_1, \psi)}{D(x, y)} + iq\frac{\partial\Psi_1}{\partial y}\theta - iq\frac{\partial T_1}{\partial y}\psi;$$

$$(2.7) \quad \psi = \partial\psi/\partial y = \theta = 0,$$

$$\psi(x + 2\pi/k, y) = \psi(x, y), \quad \varphi(x + 2\pi/k, y) =$$

$$= \varphi(x, y), \quad \theta(x + 2\pi/k, y) = \theta(x, y) \text{ при } y = \pm 1.$$

Пусть $f_n(x, y)$, $n = 1, 2, \dots$ — собственные функции этой задачи, перенумерованные таким образом, что для соответствующих инкрементов $\text{Re } \lambda_n \geq \text{Re } \lambda_{n+1}$. Основное движение с периодом $2\pi/k$ неустойчиво, если хотя бы для некоторых q $\text{Re } \lambda_1 > 0$ *.

Обсудим теперь некоторые свойства симметрии функций $F_1(x, y)$ и $f(x, y)$. Введем преобразование

$$\Pi(\psi(x, y), \varphi(x, y), \theta(x, y)) = (\bar{\psi}(-x, -y), \bar{\varphi}(-x, -y), -\bar{\theta}(-x, -y)).$$

Из (1.1)–(1.4) видно, что функции Ψ_1 и Φ_1 могут быть выбраны симметричными, а T_1 — антисимметричной по отношению к преобразованию инверсии, т. е.

$$(2.8) \quad \Pi(F_1) = F_1.$$

Далее, из (2.4)–(2.7) следует, что если f_1 — собственная функция, отвечающая инкременту λ_1 , то функция $\Pi(f_1)$ также является собственной и соответствует инкременту $\bar{\lambda}_1$. В случае вещественного невырожденного значения λ_1 можно положить $f_1 = \Pi(f_1)$, т. е.

$$\varphi_1(x, y) = \bar{\varphi}_1(-x, -y), \quad \psi_1(x, y) = \bar{\psi}_1(-x, -y), \\ \theta_1(x, y) = -\bar{\theta}_1(-x, -y).$$

3. Расчет стационарных вторичных движений проводится численно методом сеток на основе системы уравнений (1.1)–(1.5). Этот же метод применяется для построения малых возмущений.

Рассмотрим нестационарную задачу, получаемую заменой λ на оператор $\partial/\partial t$ в уравнениях (2.4)–(2.7) и дополненную некоторым началь-

* В отличие от задачи Оппа — Зоммерфельда полнота системы собственных функций для двумерной задачи (2.4)–(2.7) не доказана. Поэтому сформулированное условие неустойчивости, строго говоря, является лишь достаточным. В дальнейшем, однако, мы будем предполагать (как это обычно делается) набор функций f_n полным.

ным условием. Если

$$f(x, y, 0) = \sum_{n=1}^{\infty} a_n f_n(x, y),$$

где a_n — постоянные коэффициенты, то решение задачи Коши имеет вид

$$f(x, y, t) = \sum_{n=1}^{\infty} a_n f_n(x, y) e^{\lambda_n t}.$$

Отметим, что если функция $f(x, y, 0)$ обладает свойством

$$\Pi(f(x, y, 0)) = f(x, y, 0),$$

то это свойство симметрии сохранится и в последующие моменты времени:

$$(3.1) \quad \Pi(f(x, y, t)) = f(x, y, t).$$

Инкремент наиболее опасной моды определяется на основе рассмотрения временной асимптотики данного решения. Если значение λ_1 вещественно, то в отсутствие случайного вырождения ($\lambda_1 = \lambda_2$) при $t \rightarrow \infty$

$$f(x, y, t) \sim a_1 f_1(x, y) e^{\lambda_1 t}.$$

Тогда величина $\lambda_1(q)$ может быть вычислена, например, как

$$(3.2) \quad \lambda_1(q) = \lim_{t \rightarrow \infty} \frac{\partial}{\partial t} \ln |\psi_r(x_0, y_0, t)|,$$

где $\psi_r \equiv \operatorname{Re} \psi$; выбор точки x_0, y_0 произволен. В случае комплексного инкремента λ_1 при $t \rightarrow \infty$

$$(3.3) \quad f(x, y, t) \sim a_1 f_1 e^{\lambda_1 t} + a_2 f_2 e^{\bar{\lambda}_1 t},$$

где $f_2 = \Pi(f_1)$. Можно видеть, что при $a_2 = \bar{a}_1$ функция $f(x, y, t)$ обладает свойством (3.1). Вводя обозначения $f_+ = f_1 + f_2, f_- = f_1 - f_2$ и полагая $a_1 = a \exp(i\alpha)$, запишем решение (3.3) в виде

$$f(x, y, t) \sim a e^{\operatorname{Re} \lambda_1 \cdot t} [f_+ \cos(\operatorname{Im} \lambda_1 \cdot t + \alpha) + i f_- \sin(\operatorname{Im} \lambda_1 \cdot t + \alpha)].$$

Для вычисления инкремента в этом случае можно применять формулы:

$$\operatorname{Re} \lambda_1(q) = \lim_{t \rightarrow \infty} \frac{1}{2} \left[\frac{\dot{\psi}_r \psi_r - \ddot{\psi}_r \dot{\psi}_r}{\ddot{\psi}_r \psi_r - \dot{\psi}_r^2} \right]_{x=x_0, y=y_0},$$

$$\operatorname{Im} \lambda_1(q) = \lim_{t \rightarrow \infty} \left[\frac{1}{\dot{\psi}_r} (2 \dot{\psi}_r \operatorname{Re} \lambda_1 - \ddot{\psi}_r) - (\operatorname{Re} \lambda_1)^2 \right]_{x=x_0, y=y_0}^{1/2};$$

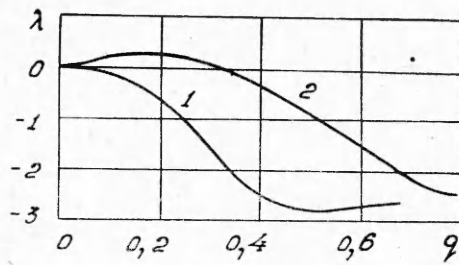
(точка означает дифференцирование по t). Подчеркнем, что инкремент может быть определен на основе асимптотики решений, удовлетворяющих дополнительному свойству симметрии (3.1).

Уравнения, описывающие эволюцию вихря скорости и температуры для основного движения и для возмущений, имеют одинаковую структуру:

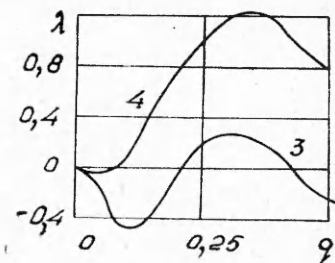
$$\partial u / \partial t = a(\partial^2 u / \partial x^2 + \partial^2 u / \partial y^2) + b_1 \partial u / \partial x + b_2 \partial u / \partial y + c u + d$$

и решаются методом дробных шагов по схеме продольно-поперечной прогонки [18]. Решение уравнения Пуассона производится итерационным методом Либмана с последовательной верхней релаксацией. В силу одинаковой периодичности функции F_1 и f строятся на одном сеточном шаблоне. Отыскиваются решения, удовлетворяющие условиям (2.8), (3.1); при этом задача решается в половине слоя $-1 \leq y \leq 0$; при $y = 0$ ставятся условия инверсионной симметрии (или антисимметрии) для соответствующих функций.

Вследствие экспоненциального роста возмущений значения функций f^n и f^{n+1} , взятые в одних и тех же точках на соседних временных слоях,



Фиг. 1



Фиг. 2

отличаются даже в установившемся режиме. В связи с этим были приняты специальные меры для устранения факторов, нарушающих неявность схемы и ухудшающих ее аппроксимацию.

В частности, при осуществлении вертикальных прогонок использовались циклические граничные условия [19]. При аппроксимации вихря скорости в случае вещественных λ использовалась процедура:

$$(3.4) \quad \varphi^{n+1}|_{y=-1} = -(2/h^2)\psi^n|_{y=-1+h} e^{\lambda\tau},$$

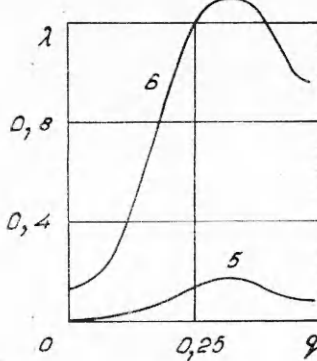
где n — номер временного слоя; h — шаг пространственной сетки по оси y ; τ — шаг по времени. Выражение (3.4) представляет собой формулу Тома, модифицированную с учетом асимптотики решения при больших временах. Величина λ определяется из выражения (3.2). В случае комплексных λ применялась другая процедура:

$$\varphi^{n+1}|_{y=-1} = -(2/h^2)(2\psi^n - \psi^{n-1})|_{y=-1+h}.$$

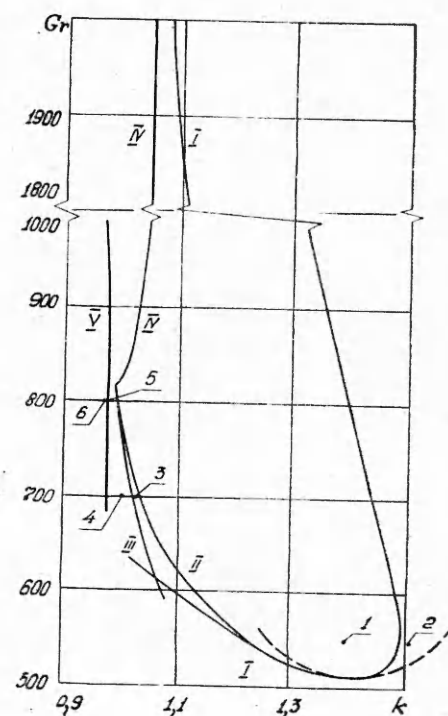
Более подробное описание методики расчета дано в работе [11].

4. Переидем к обсуждению результатов расчетов, выполненных при фиксированном значении числа Прандтля ($Pr = 1$). На фиг. 1—3 представлены характерные картины зависимости инкремента наиболее опасной моды от квазиволнового числа $|q| < k/2$. В силу свойства четности инкрементов $\lambda(q) = \lambda(-q)$ на графиках изображена только половина области при $q > 0$ (это свойство проще всего установить, если в уравнениях (2.4)–(2.6) представить все функции в виде $f = \operatorname{Re} f + i \operatorname{Im} f$ и записать отдельно уравнения для вещественных и мнимых частей). На фиг. 4 приведена сводная карта устойчивости пространственно-периодических движений на плоскости параметров Gr , k .

Кривые $\lambda(q)$ на фиг. 1 построены при $Gr = 550$. Кривая 1 отвечает



Фиг. 3



Фиг. 4

устойчивому движению ($k = 1,4$), а 2 — неустойчивому ($k = 1,57$); на фиг. 4 эти движения изображаются соответственно точками 1 и 2. Как видно из верхнего графика, наиболее опасными являются возмущения с малыми q (иначе, с волновыми числами, близкими к волновому числу основного движения) — возмущения типа Экхауза. На фиг. 4 граница, разделяющая области устойчивости и неустойчивости движений по отношению к возмущениям данного типа, обозначена цифрой I; она определяется из условия $\partial^2\lambda/\partial q^2 = 0$. Штриховой линией показана та же самая кривая, только полученная аналитически в работе [14]. Видно, что область применимости аналитических методов в рассматриваемой задаче весьма ограничена — уже при небольшой надкритичности обе ветви кривой I заметно отклоняются влево от штриховых линий.

С ростом числа Грасгофа правая (коротковолновая) граница области устойчивости, как оказывается, всегда связана с возмущениями типа Экхауза. Что же касается левой границы (длинноволновая область), то здесь наблюдается большее разнообразие типов неустойчивости. На фиг. 2 показаны картины спектров для движений с волновыми числами $k = 1,03$ (кривая 3) и $k = 1$ (кривая 4) при $Gr = 700$. В обоих случаях наиболее опасными являются возмущения с конечными q . Граница устойчивости по отношению к таким возмущениям представлена на фиг. 4 линией II.

При увеличении числа Грасгофа значение q , отвечающее максимуму λ , смещается вправо до тех пор, пока не совпадет (при $Gr \approx 800$) с границей зоны $q = k/2$. Кривая устойчивости для возмущений с $q = k/2$ обозначена цифрой III.

По мере дальнейшего роста Gr возмущения с $q = k/2$, оставаясь наиболее опасными, становятся колебательными. Кривая устойчивости III в точке появления $Im \lambda \neq 0$ терпит излом и продолжается далее как линия IV (фиг. 4). Отметим, что при конечных $q < k/2$ (менее опасных) комплексная ветвь $\lambda(q)$ может снова расщепиться на две вещественные кривые.

Дальнейшее продвижение в область больших Gr не приводит к качественно новым типам неустойчивости. Границы I и IV медленно движутся навстречу друг другу, причем кривая I выходит на почти вертикальную асимптоту. Область устойчивых вторичных движений постепенно сужается, и при $Gr \approx 2000$ выделяется очень узкий интервал волновых чисел в окрестности $k \approx 1,05$, внутри которого пространственно-периодические движения еще остаются устойчивыми. Подчеркнем, что область устойчивости сохраняется при высокой надкритичности в виде очень узкой полосы. Практически выделяется движение с вполне определенным волновым числом.

В заключение остановимся коротко еще на одном типе возмущений, обнаруженнем в рассматриваемой задаче, который, однако, не оказался наиболее опасным в какой-либо области параметров. Граница устойчивости по отношению к возмущениям этого типа дается на фиг. 4 кривой V. При переходе через данную кривую начинают монотонно нарастать возмущения с $q = 0$, т. е. обладающие тем же периодом, что и основное движение. Зависимость $\lambda(q)$ для движения из указанной области приведена на фиг. 3 (кривая 6, $Gr = 800$, $k = 0,98$). Отметим, что непосредственное численное решение системы (1.1)–(1.4) с периодическими граничными условиями по x для значений параметров, взятых в области левее границы V, обнаруживает неустойчивость инверсионно-симметричного стационарного основного движения, приводящую к развитию течений в форме движущихся вверх или вниз по слою периодических систем вихрей, не обладающих инверсионной симметрией [16, 20].

Авторы благодарят Г. З. Гершуни, Е. М. Жуховицкого, Е. Л. Тарунина и Д. В. Любимова за полезное обсуждение.

Поступила 25 V 1981

ЛИТЕРАТУРА

1. Гершунин Г. З., Жуховицкий Е. М. Конвективная устойчивость несжимаемой жидкости. М.: Наука, 1972.
2. Гершунин Г. З., Жуховицкий Е. М. Конвективная устойчивость.— Механика жидкости и газа (Итоги науки и техники), 1978, т. 11.
3. Clever R. M., Busse F. H. Instabilities of longitudinal convection rolls in an inclined layer.— J. Fluid Mech., 1977, vol. 81, pt 1.
4. Clever R. M., Busse F. H., Kelly R. E. Instabilities of longitudinal convection rolls in Couette flow.— Z. angew. Math. und Phys., 1977, vol. 28, N 5.
5. Busse F. H. On the stability of two-dimensional convection in a layer heated from below.— J. Math. and Phys., 1967, vol. 46, N 2.
6. Clever R. M., Busse F. H. Transition to time-dependent convection.— J. Fluid Mech., 1974, vol. 65, pt 4.
7. Busse F. H., Clever R. M. Instabilities of convection rolls in a fluid of moderate Prandtl number.— J. Fluid Mech., 1979, vol. 91, pt 2.
8. Kvernvold O. Rayleigh—Bénard convection with one free and one rigid boundary.— Geophys. and Astrophys. Fluid Dyn., 1979, vol. 12, N 3—4.
9. Tveiterei M., Palm F. Convection due to internal heat sources.— J. Fluid Mech., 1976, vol. 76, pt 3.
10. Тарунин Е. Л. Определение границы конвективной устойчивости равновесия методом сеток.— В сб.: Алгоритмы и программы для ЭВМ. Пермь, 1978, деп. ВИНИТИ 31.05.78, № 1803—78.
11. Возовой Л. П., Непомнящий А. А. Применение метода сеток для исследования устойчивости пространственно-периодических движений.— В сб.: Численные методы динамики вязкой жидкости. Новосибирск, 1979.
12. Гершунин Г. З., Жуховицкий Е. М., Тарунин Е. Л. Вторичные стационарные конвективные движения в плоском вертикальном слое жидкости.— Изв. АН СССР. МЖГ, 1968, № 5.
13. Тарунин Е. Л. О вторичных стационарных конвективных течениях в вертикальном слое.— Учен. зап. Пермск. ун-та, № 293. Гидродинамика. 1974, вып. 4.
14. Непомнящий А. А. О вторичных конвективных движениях в плоском вертикальном слое.— Изв. АН СССР. МЖГ, 1975, № 4.
15. Непомнящий А. А. О типах вторичных конвективных течений в вертикальном слое.— В сб.: Конвективные течения и гидродинамическая устойчивость. Свердловск, УНЦ АН СССР, 1979.
16. Непомнящий А. А. О нестационарных вторичных конвективных движениях в вертикальном плоском слое.— В сб.: Конвективные течения. Вып. 1. Пермь: изд. ПГПИ, 1979.
17. Займан Дж. М. Принципы теории твердого тела. М.: Мир, 1974.
18. Яненко Н. Н. Метод дробных шагов решения многомерных задач математической физики. Новосибирск: Наука, 1967.
19. Самарский А. А. Теория разностных схем. М.: Наука, 1977.
20. Возовой Л. П., Непомнящий А. А. Нестационарные конвективные течения в вертикальном слое.— Изв. АН СССР. МЖГ, 1981, № 5.

УДК 533.6.013.2

АВТОМОДЕЛЬНЫЕ РЕШЕНИЯ УРАВНЕНИЙ ПОГРАНИЧНОГО СЛОЯ С ВЗАИМОДЕЙСТВИЕМ

B. B. Боголепов, I. I. Липатов

(Москва)

В работе [1] построена классификация режимов течений около малых двумерных неровностей на поверхности тела, обтекаемого сверхзвуковым потоком вязкого газа, при стремлении характеристического числа Рейнольдса Re , посчитанного по параметрам набегающего потока и характеристической длине тела l , к бесконечности. При использовании известного метода сращиваемых асимптотических разложений установлены основные параметры подобия, определяющие физические особенности течений, вид уравнений и краевых условий. В частности, получено, что неровности с характеристикой протяженностью $\epsilon^{3/2} < b/l < \epsilon^{3/4}$ и характеристическим поперечным размером $a/l \sim O[\epsilon(b/l)^{1/3}]$, где $\epsilon = Re^{-1/2}$, обтекаются пристеночной сдвиговой дозвуковой частью невозмущенного пограничного слоя и течение около таких неровностей в первом приближении при $\epsilon \rightarrow 0$ описывается уравнениями пограничного слоя Прандтля для несжимаемого газа. Распределение давления при этом определяется в процессе счета из условия взаимодействия неровности с пристеночной частью невозмущенного пограничного слоя, т. е. для рассматриваемого режима течения в первом приближении нет взаимодействия с внешним потоком и изменение толщины неровности компенсируется изменением тол-